网络出版时间: 2018 - 6 - 27 14:14 网络出版地址: http://kns.cnki.net/kcms/detail/34.1073. R. 20180627.1413.021. html

BRAF V600E 和 TERT 启动子突变与甲状腺乳头状癌临床病理特征的 关系

代丽丽1 张国安2 韩 莎3 吕晨曦4 王业全4 侯 森4 崔 文4

摘要: 目的 探讨鼠类肉瘤滤过性酶菌致癌同源体 B1 (BRAF) V600E 基因突变和端粒酶逆转录酶(TERT) 启动子突变在甲状腺乳头状癌(papillary thyroid carcinoma, PTC) 中的发生率及其与临床病理特征的关系。方法 收集 62 例 PTC 患者新鲜冷冻组织进行显微切割,收集癌细胞并提取 DNA,PCR 扩增后利用测序法对 PTC 患者 BRAF V600E 和 TERT 启动子突变进行检测 并收集 62 例患者的临床病理资料进行统计学分析。结果 62 例 PTC 中 58 例(94%) 在 BRAF T1799A 处发生突变。有 13 例(21%) 在 TERT 启动子C228T 处发生突变。PTC 患者中,BRAF V600E 基因突变仅与肿瘤大小有关(P < 0.05),TERT 启动子突变与 PTC 患者年龄、肿瘤大小有关(P < 0.05)。结论 BRAF 和 TERT 启动子突变对 PTC 患者的临床病理表现产生一定影响,对患者的预后评估具有指导意义。

关键词: 甲状腺肿瘤; 乳头状癌; BRAF V600E 突变; TERT 启动子突变; 临床病理特征

中图分类号: R 736. 1 文献标志码: A 文章编号: 1001 - 7399(2018) 06 - 0673 - 04 doi: 10.13315/j. cnki. cjcep. 2018. 06. 021

甲状腺癌是内分泌系统中最常见的恶性肿瘤 在全球范围内发病率呈快速上升趋势^[1] 近几年中国甲状腺癌的发病率也持续升高^[2]。甲状腺乳头状癌(papillary thyroid cancer ,

接受日期: 2018 - 03 - 27

基金项目: 济宁医学院大学生创新训练计划项目(cx2016034)、济宁 医学院青年教师科研扶持基金(JY2017FY001)

作者单位: ¹ 济南大学山东省医学科学院医学与生命科学学院 济南 250062

2 济宁医学院司法鉴定中心 济宁 272067

³ 济宁医学院中心实验室、⁴ 法医学与医学检验学院 济宁

作者简介: 代丽丽 ,女 ,硕士研究生。E-mail: m18463728330@163. com

崔 文 ,男 ,教授 ,硕士生导师 ,通讯作者。E-mail: cui-wenmd@ 163. com

PTC) 是其最常见的病理类型。随着对甲状腺癌发病机制的 不断深入研究 发现 PTC 是一个多基因驱动的恶性肿瘤 端 粒酶逆转录酶(TERT)和鼠类肉瘤滤过性酶菌致癌同源体 B1(BRAF)基因在 PTC 的发生与发展中发挥重要作用[3]。 BRAF V600E 基因突变是 PTC 发生及发展中比较重要的遗 传学改变 ,BRAF T1799A 单个碱基的错义突变 ,导致翻译蛋 白质 600 位密码子对应的缬氨酸被谷氨酸替代(V600E) 成 为活化蛋白激酶 级联式激活信号传导通路引起细胞的异常 增殖和肿瘤的发生[4]。TERT 是端粒酶的催化亚基 ,TERT 启动子区最常见的两个突变分别是 1295 228 C > T 和 1295 250 C > T(分别称为 C228T 和 C250T) 这两个突变能够增强 TERT 启动子的转录活性,促进甲状腺癌的发生[5]。多数报 道均使用未经加工的 PTC 组织作为检测 DNA 的来源[6] 即 其提取的 DNA 是 PTC 肿瘤细胞和正常甲状腺细胞、间质细 胞的混合 DNA。如果后两者所占比例过大,可能影响突变 的检出率。为避免这个问题 本实验使用显微切割精确分离 出 PTC 肿瘤细胞 然后进行 DNA 提取和突变检测 以期提高 检测的准确性。

1 材料与方法

- 1.1 材料 收集济宁医学院附属医院未经放、化疗且经 3 名以上病理医师诊断为 PTC 的 62 例患者术中病理组织 ,并制作成冷冻切片。其中女性 44 例 ,男性 18 例 ,年龄 7 ~ 79 岁。收集患者的临床病理资料(姓名、性别、年龄、肿瘤大小、有无甲状腺腺外侵犯、有无淋巴结转移等)。所有病例均经HE 染色并由高年资病理医师确认诊断。所有患者均签知情同意书 ,并获得医院伦理委员会批准。
- 1.2 显微切割技术 将62 例 PTC 新鲜病变组织制作成冷冻 切片并进行 HE 染色 将 MMI 显微切割用膜片框架反转 置于载玻片上 得到三明治样结构的样本即可用于显微切割。设置玻片类型 安装好收集管 进行扫描 选取视野后 进行显微切割 分离出 PTC 组织的肿瘤细胞 ,置于收集管中并做好标记 分别于显微切割前后拍摄照片(图1)。

- [11] 么鸿雁,施侣元.中国人群肺癌发病危险因素的 Meta 分析 [J].中华流行病学杂志,2003 24(1):46-49.
- [12] 陈仁杰,张金良,阚海东.中国大气污染与肺癌关系的流行病学研究回顾[J].卫生研究,2011 40(2):243-245.

^[10] National Lung Screening Trial Research Team, Aberle D R, Adams A M, et al. Reduced lung-cancer mortality with low dose computed tomographic screening [J]. N Engl J Med, 2011, 365 (5): 395 – 409.

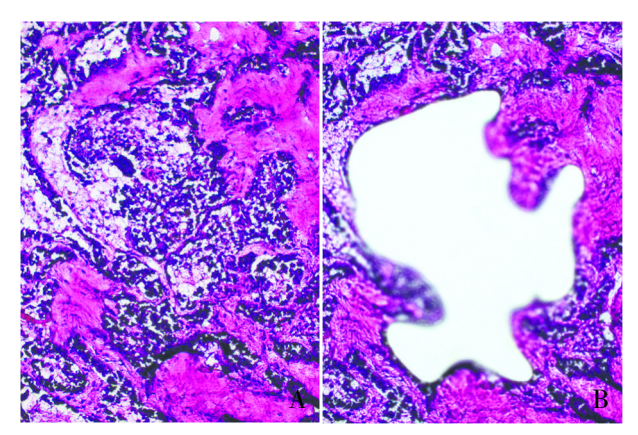
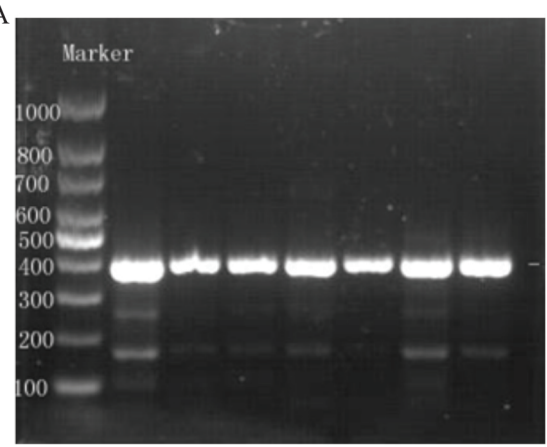


图 1 激光显微切割 PTC 肿瘤细胞: A. 显微切割前; B. 显微切割后

- 1.3 肿瘤细胞 DNA 提取 采用 Chelex-100 法提取 PTC 的肿瘤细胞 DNA。分别向每个样本的收集管中加入 200 μ L 5% Chelex-100 溶液,然后加入 4 μ L PK (5 mg/mL) 溶液 和 2 μ L DTT (1 mol/mL) 溶液 在振荡器上反复震荡后,放于恒温振荡器 56 ℃过夜然后 100 ℃ 保温 8 ~ 10 min,充分振荡 将液体移入普通 EP 管,13 000 r/min 离心 3 min。取上清,测定浓度后置于 4 ℃保存备用。
- 1.4 PCR 及测序 根据 NCBI 提供的 BRAF 和 TERT 基因序列,由上海生物公司进行引物设计并合成,BRAF 基因上游引物序列 5′-GCATCTCACCTCATCCTAACACA-3′,下游引物序列 5′-AGCCTCAATTCTTACCATCCACACA-3′,下游引物序列 5′-CGGGCTCCCAGTGGATTC-3′,下游引物序列 5′-GCCACTACCGCGAGGTG-3′,设置 PCR 反应体系,BRAF 基因使用普通 PCR 试剂盒(康为试剂 CW0690S),TERT 基因使用 2×Phanta Turbo Master Mix(Vazyme P518-01)试剂盒。将扩增的 PCR 产物进行 1.5% 琼脂糖电泳,确定 PCR 产物质量(图 2)。将扩增成功样本的 PCR 产物送上海生物公司进行测序,获取测序峰图和序列,将其与正常基因组 DNA 序列对比以确定是否发生突变 如发现存在突变,则更换反向引物进行测序,以再次确认突变的发生。
- 1.5 统计学分析 应用 SPSS 22.0 软件进行统计学分析,用四格表资料 χ^2 检验或者 Fisher 确切概率法进行率的比较。P < 0.05 为差异有统计学意义。

2 结果

2.1 BRAF V600E 对 PTC 临床病理特征的影响 在 62 例 PTC 患者中 BRAF V600E 基因突变为 58 例 突变率为 94%, 突变位点为第 15 外显子第 1 799 位点的点突变(T1799A), 且所有的突变均为杂合性突变(图 3)。其余 4 例 PTC 患者 均未发现突变(图 4)。女性 PTC 患者 BRAF V600E 基因突变 41 例 男性 PTC 患者 BRAF V600E 基因突变 17 例 ,提示 PTC 中 BRAF V600E 基因突变与性别无关(P > 0.05)。同样,BRAF 基因在发生甲状腺腺外侵犯的患者中突变率 100%,与未发生甲状腺腺外侵犯的患者相比差异无统计学意义(P > 0.05)。此外,在25例肿瘤直径 ≤ 1 cm的PTC患者



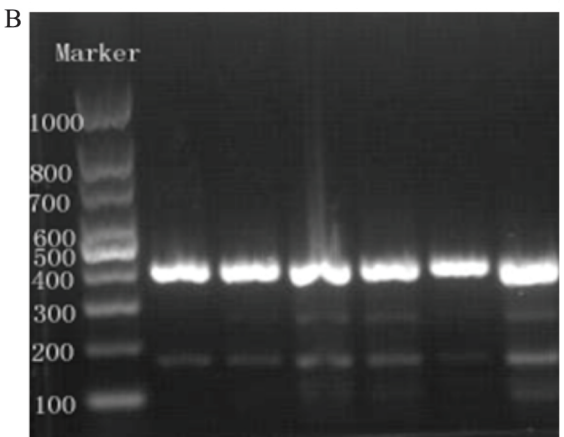


图 2 PCR 产物琼脂糖电泳图 A. BRAF 基因片段 389 bp; B. TERT 基因片段 400 bp

中 发生 BRAF V600E 基因突变的有 21 例 在肿瘤直径 > 1 cm 的 37 例 PTC 患者中均发生 BRAF V600E 基因突变 两组相比差异有统计学意义(P < 0.05)。在颈部淋巴结发生转移患者中均发生 BRAF V600E 基因突变 但与无颈部淋巴结转移者相比差异无统计学意义(P > 0.05 表 1)。

- 2.2 TERT 启动子突变对 PTC 临床病理特征的影响 在 62 例 PTC 中,TERT 启动子突变 13 例,突变率 21% 突变位 点均为 C228T(图 5) 其余 49 例 PTC 患者未检测到突变(图 6)。其中年龄 \leq 45 岁和 > 45 岁的 PTC 患者中 TERT 启动子突变率分别为 9% 和 37%,两者差异有统计学意义(P < 0.05)。PTC 患者中 TERT 启动子突变与性别无关(P > 0.05)。然而,TERT 启动子突变在肿瘤直径 \leq 1 cm 的患者中突变率为 0,明显低于直径 > 1 cm 者(35%)(P < 0.05)。另外,TERT 启动子突变组与 TERT 野生组相比,两者在是否侵犯甲状腺包膜、是否腺外转移、是否发生淋巴结转移差异无统计学意义(P > 0.05 表 2)。
- **2.3 BRAF V600E** 和 **TERT** 启动子共突变对 **PTC** 临床病 理特征的影响 62 例 PTC 中 BRAF V600E 和 TERT 启动子 共突变患者合计 13 例 将 BRAF V600E 和 TERT 启动子共 突变和均未突变的患者相比 在肿瘤直径方面差异有统计学 意义(P < 0.05)。但两组患者在性别、年龄、淋巴结转移、腺外侵犯方法差异均无统计学意义(表 3)。

CTAGCTACAGAGAAATCTCGA:

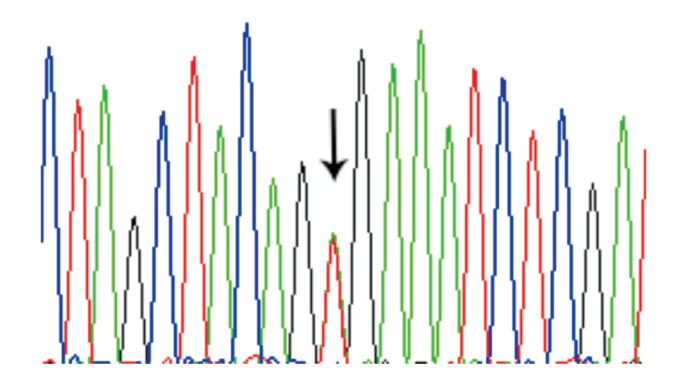


图 3 BRAF V600E(T1799A)基因杂合性突变(箭头所示)

G C C C A G C C C C T T C C G G G C C C T C

图 5 TERT C228T 突变(箭头所示)

C TA G C TA CA G T G A A A T C T C G A 1

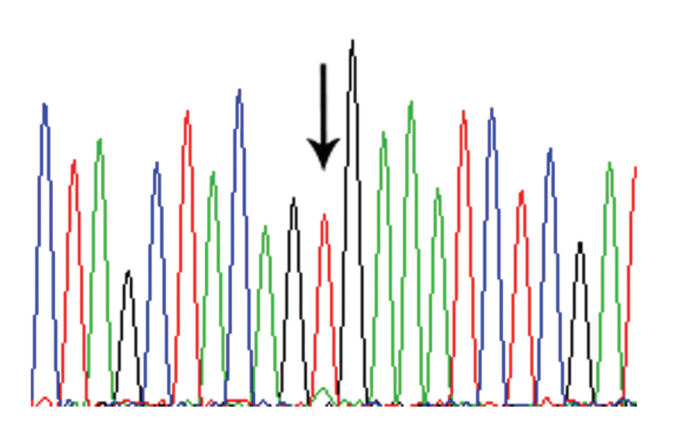


图 4 未发生 BRAF V600E 基因突变(箭头所示)

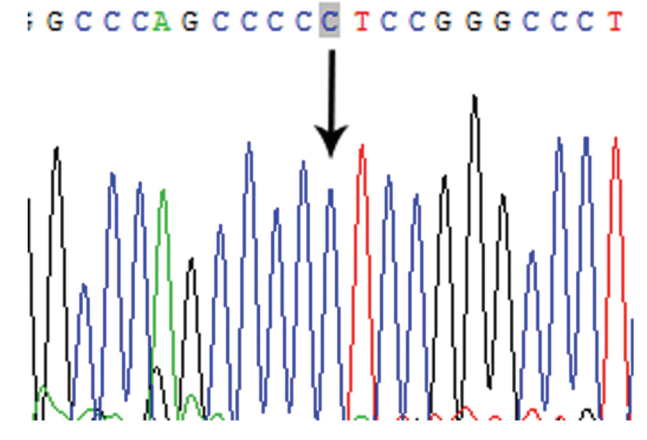


图 6 未发生 TERT C228T 突变(箭头所示)

表 1 BRAF V600E 突变与 PTC 临床病理特征的关系

临床病理		BRAF V600E 基因突变率		2. /=	
参数	n	突变(%)	未突变(%)	χ^2 值	P 值
性别					
女	44	41(93.18)	3(6.82)	0.340	0 671
男	18	17(94.44)	1(5.56)	0.340	0.671
年龄(岁)					
≤45	35	33(94.29)	2(5.71)	0.720	0.587
>45	27	25(92.59)	2(7.41)		
肿瘤直径(cm)					
≤1	25	21(84.00)	4(16.00)	6.328	0.023#
>1	37	37(100.00)	0(0.00)		
侵犯甲状腺包膜					
有	12	12(100.00)	0(0.00)	1 026	0.413
无	50	46(92.00)	4(8.00)	1.026	
甲状腺腺外侵犯					
有	3	3(100.00)	0(0.00)	0.217	0.016
无	59	55(93.22)	4(6.78)	0.217	0.816
发生淋巴结转移					
有	9	9(100.00)	0(0.00)	0.726	0.525
无	53	49(92.45)	4(7.55)		

 $^{^{\#}}P < 0.05$

表 2 TERT C228T 突变与 PTC 临床病理特征的关系

临床病理	n	TERT 启动子突变		2 / ±	n /±
参数		 突变(%)	未突变(%)	$-\chi^2$ 值	P 值
 性别					
女	44	8(18.18)	36(81.82)	0.710	0.302
男	18	5(27.78)	13(72.22)		
年龄(岁)					
≤45	35	3(8.57)	32(91.43)	7.453	0.008
>45	27	10(37.04)	17(62.96)		
肿瘤直径(cm)					
≤1	25	0(0.00)	25(100.00)	11.114	0.000
>1	37	13(35.14)	24(64.86)		
侵犯甲状腺包膜					
有	12	2(16.67)	10(83.33)	0.166	0.515
无	50	11(22.00)	39(88.00)		
甲状腺腺外侵犯					
有	4	1(25.00)	3(75.00)	0.42	0.62
无	58	12(20.69)	46(79.31)		
发生淋巴结转移					
有	7	1(14.29)	6(85.71)	0.213	0.544
无	55	12(21.82)	43(78.18)		

^{*}P < 0.05

表 3 BRAF V600E 和 TERT 启动子联合突变与 临床病理特征的关系

临床病理	n	BRAF V600E + TERT 启动子突变		χ^2 值	P 值
<u>参数</u>		共突变(%)	都未突变(%)	Λ ΙΕ	
性别					
女	11	8(72.73)	3(27.72)	0. 243	0.555
男	6	5(83.33)	1(16.67)	0.243	
年龄(岁)					
≤45	5	3(60.00)	2(40.00)	1.068	0.330
>45	12	10(83.33)	2(16.67)		
肿瘤直径(cm)					
≤1	4	0(0.00)	4(100.00)	8.029	0.012#
>1	13	13(100.00)	0(0.00)		
侵犯甲状腺包膜					
有	2	2(100.00)	0(0.00)	0.697	0.574
无	15	11(73.33)	4(26.67)	0.097	
甲状腺腺外侵犯					
有	1	1(100.00)	0(0.00)	0.327	0.765
无	16	12(75.00)	4(25.00)		
发生淋巴结转移					
有	1	1(100.00)	0(0.00)	0.327	0.765
无	16	12(75.00)	4(25.00)		

 $^{\#}P < 0.05$

3 讨论

关于 BRAF V600E 基因突变在 PTC 中的研究国内外有 大量报道, 各研究显示 BRAF 突变率在 27% ~ 83% 不等, 平 均为 45% ~ 50% [7]。本实验中, BRAF V600E 突变率为 94% ,明显高于平均水平 ,可能与材料的收集采用显微切割 技术有关 显微切割镜下收集单纯的 PTC 癌细胞 提高了实 验的准确性。文献报道关于 BRAF 基因突变与 PTC 临床病 理特征的关系尚无一致的结论 ,虽然一些关于 BRAF 基因突 变的 Meta 分析得出结论[6-9] ,认为 BRAF 基因突变与 PTC 患者较差的临床病理特征有关,例如复发率、生存率、临床分 期等,但是 Meta 分析具有一定局限性 ,PTC 患者的生活环 境、人种、地区方面存在差异。在本实验中,采用单个地区的 样本研究发现,BRAF 基因突变仅与 PTC 肿瘤大小显著相 关 与 Jin 等[7]的研究结果一致。有些研究中 BRAF 基因突 变与 PTC 患者年龄显著相关[10] ,但在本实验中 BRAF 基因 突变与 PTC 患者年龄无相关性 ,与赖烨钤[11] 的研究结果相 似。

在 PTC 患者中,TERT 启动子突变的位点主要是 C228T、C250T,有研究表明 C228T 突变更常见 $^{[12]}$ 。 PTC 中 TERT 启动子突变率 $7.5\%\sim27\%$ $^{[13-14]}$,其突变情况与 PTC 临床病理特征可能存在相关性。在本实验中 TERT 启动子突变率为 21% 仅与 PTC 患者年龄和肿瘤大小存在显著相关,与 Sun 等 $^{[13,15]}$ 的报道一致。也有研究表明 TERT 启动子突变仅与甲状腺腺外侵犯和甲状腺包膜转移有关 $^{[7]}$ 而本实验中未发现与这两个指标具有明显相关性。

总之 本实验利用显微切割获得无其他种类细胞污染的

PTC 肿瘤细胞 经 PCR 扩增后得到其 BRAF V600E 和 TERT 的突变 并分析这 2 个突变与临床病理特征的关系。由于样本量较小 研究结论还需大样本的进一步证实。

参考文献:

- [1] 侯 森,崔 文,张国安,等. 甲状腺乳头状癌中瘦素及其受体表达与临床特征的相关性[J]. 临床与实验病理学杂志, 2013 29(3):284-286.
- [2] Chen W, Zheng R, Baade PD, et al. Cancer statistics in China, 2015 [J]. CA Cancer J Clin, 2016 66(2):115-132.
- [3] 杨旭辉. 甲状腺癌分子标记物的研究进展[J]. 临床与病理杂志,2015,36(6):1148-1156.
- [4] De La Chapelle A , Jazdzewski K. MicroRNAs in thyroid cancer [J]. J Clin Endocrinol Metab , 2011 96(11):3326 – 3336.
- [5] Horn S, Figl A, Rachakonda PS, et al. TERT promoter mutations in familial and sporadic melanoma [J]. Science, 2013, 339 (6122):959-961.
- [6] Moon S , Song Y S , Kim Y A , et al. Effects of coexistent BRAF V600E and TERT promoter mutations on poor clinical outcomes in papillary thyroid cancer: a meta-analysis [J]. Thyroid , 2017 ,27 (5):651-660.
- [7] Jin L, Chen E, Dong S, et al. BRAF and TERT promoter mutations in the aggressiveness of papillary thyroid carcinoma: a study of 653 patients [J]. Oncotarget, 2016, 7(14):18346-18355.
- [8] Zhang Q, Liu S Z, Zhang Q, et al. Meta-analyses of association between BRAF (V600E) mutation and clinicopathological features of papillary thyroid carcinoma [J]. Cell Physiol Biochem, 2016, 38(2):763-776.
- [9] Li J , Zhang S , Zheng S , et al. The BRAF V600E mutation predicts poor survival outcome in patients with papillary thyroid carcinoma: a meta analysis [J]. Int J Clin Exp Med , 2015 ,8 (12): 22246 22253.
- [10] George J R , Henderson Y C , Williams M D , et al. Association of TERT promoter mutation , but not BRAF mutation , with increased mortality in PTC[J]. J Clin Endocrinol Metab , 2015 ,100 (12): E1550 – E1559.
- [11] 赖烨钤. 甲状腺乳头状癌 BRAF V600E 基因突变探究[J]. 中国现代药物应用,2017,11(10):31-33.
- [12] Nasirden A, Saito T, Fukumura Y, et al. In Japanese patients with papillary thyroid carcinoma, TERT promoter mutation is associated with poor prognosis, in contrast to BRAF V600E mutation [J]. Virchows Arch, 2016, 469(6):687-696.
- [13] Sun J , Zhang J , Lu J , et al. BRAF V600E and TERT promoter mutations in papillary thyroid carcinoma in chinese patients [J]. PLoS One , 2016 ,11(4): e0153319.
- [14] Xing M, Liu R, Liu X, et al. BRAF V600E and TERT promoter mutations cooperatively identify the most aggressive papillary thyroid cancer with highest recurrence [J]. J Clin Oncol, 2014,32 (25):2718-2726.
- [15] Melo M, Gaspar Da Rocha A, Batista R, et al. TERT, BRAF and NRAS in primary thyroid cancer and metastatic disease [J]. J Clin Endocrinol Metab, 2017, 102(6):1898-1907.